

И. Н. ТЕМНОВ

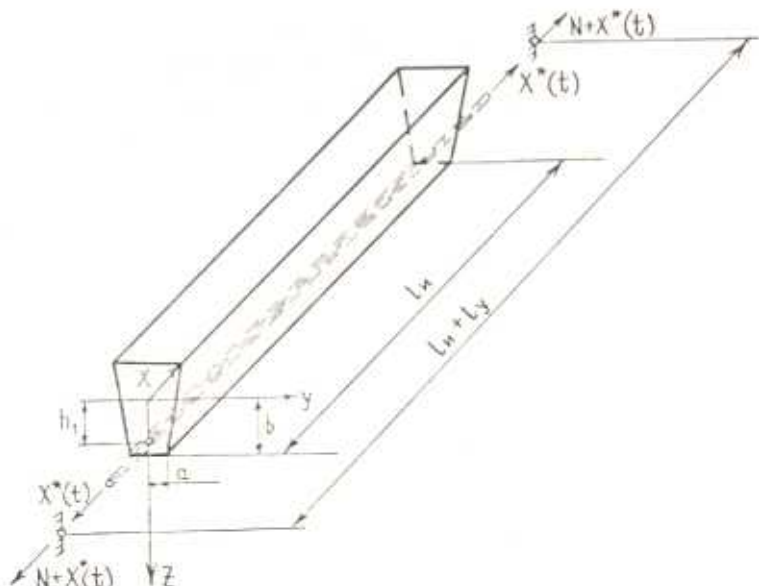
О ПРИМЕНЕНИИ ТЕОРИИ ПОЛЗУЧЕСТИ К РЕШЕНИЮ ЗАДАЧИ  
О НАПРЯЖЕННОМ СОСТОЯНИИ  
ЖЕЛЕЗОБЕТОННОГО ЭЛЕМЕНТА В ПРОЦЕССЕ  
ТЕРМООБРАБОТКИ

В настоящее время большинство предварительно напряженных элементов сборных железобетонных конструкций гражданских и промышленных зданий изготавливаются в заводских условиях. Для ускорения обработки заводского оборудования элементы подвергаются тепловой обработке, интенсифицирующей процесс вызревания бетона. Вместе с тем термообработка нередко приводит к возникновению напряжений, способных вызвать трещины или создать условия для растрескивания бетона в процессе эксплуатации. Существующая в настоящее время методика расчета термонапряженного состояния железобетонных элементов основана на дискретном учете изменения величины модуля упругомгновенных деформаций бетона во время термообработки [4], [5], [7], [10].

Поскольку эта методика не учитывает процесса формирования напряжений, результаты соответствующих расчетов носят, в основном, качественный характер. Для получения достаточно полного количественного описания изменения напряженного состояния железобетонного элемента в процессе термообработки, необходимо учесть процесс изменения температуры и влажности, а также влияние таких явлений, как интенсивное старение и ползучесть бетона. Принимая во внимание, что речь идет о напряжениях, необходимых для проверки трещиностойкости, то есть о растягивающих напряжениях и относительно небольших сжимающих напряжениях, допустимо полагать, что поставленную задачу можно решать на основе линейной теории ползучести [2].

1. Изготовление призматического предварительно-напряженного железобетонного элемента по стендовой технологии производится в такой последовательности: 1—натяжение арматуры на упоры, 2—укладка бетона, 3—термообработка, включающая вызревание бетона при начальной температуре, повышение температуры, изотермический прогрев и охлаждение, 4—обжатие бетона. Как правило, температура сряды, окружающей элемент, постоянна по его поперечному сечению и по длине стенда. Таким образом, при определении напряженного состояния в процессе термообработки необходимо рассматривать систему, состоящую из предварительно напряженной и закрепленной на упорах арматуры и бетона, жестко связанного с этой арматурой. В силу статической неопределенности такой системы при изменении температуры

происходит возникновение усилий в отдельных ее частях. В дополнение к усилию предварительного напряжения в свободной арматуре появляется усилие  $X^*(t)$ , в обетонированной арматуре —  $N^*(t)$ . Можно условно считать, что источником формирования напряженного состояния железобетонного элемента при термообработке является усилие  $X^*(t)$  (фиг. 1). Дополнительно к этому необходимо учесть напряжение  $\varepsilon_{66}(y, z, t)$ , формирующееся в бетоне вследствие наличия неравномерного по поперечному сечению градиента температурно-влажностных деформаций.



Фиг. 1. Схема системы: железобетонное изделие — свободная арматура — упоры.

Таким образом, в процессе термообработки в элементе действуют следующие напряжения:

$$\varepsilon_6(t) = \varepsilon_{6N} + \varepsilon_{66}(t) \quad (1)$$

$$\sigma_6(y, z, t) = \sigma_6(t) + \sigma_{66}(y, z, t) \quad (2)$$

При этом

$$\varepsilon_{6N} = \frac{N}{F_s}, \quad \varepsilon_{66}(t) = \frac{N^*(t)}{F_s}, \quad \varepsilon_6(t) = -\nu \varepsilon_{66}(t) \left(1 + \frac{F_s h_1}{F_6} z\right) \quad (3)$$

Если, как обычно, считать, что коэффициенты линейного температурного расширения арматурной стали и бетона одинаковы, то напряжения  $\varepsilon_{66}$  могут быть подсчитаны с использованием известных формул для упругого однородного и изотропного призматического элемента [3], [6].

$$\begin{aligned} z_{\text{bb}}^*(y, z, t) = & - \left\{ zE(t)\delta(y, z, t) + \frac{N_a(y, z, t)}{F_b} + \right. \\ & \left. + \frac{M_{3y}(y, z, t)}{J_5} z - \nu [z_y(y, z, t) + z_z(y, z, t)] \right\} \end{aligned} \quad (4)$$

$$N_a(y, z, t) = -zE(t) \int_p^z \int_p^y \delta(y, z, t) dz dy \quad (5)$$

$$M_{3y}(y, z, t) = -zE(t) \int_p^z \int_p^y \delta(y, z, t) z dy dz$$

Известно, что на основе линейной теории ползучести зависимость между действующей на призматический элемент (фиг. 1) силой  $X^*(t)$  и усилием в арматуре  $N_a^*(t)$  устанавливается таким интегральным уравнением [11]

$$\begin{aligned} N_a^*(t) + \mu m(t) \left[ N_a^*(t) - E(t) \int_{\tau_1}^t N_a^*(\tau) \frac{\partial \delta(t, \tau)}{\partial \tau} d\tau \right] = \\ = \mu m(t) \left[ X^*(t) - E(t) \int_{\tau_1}^t X^*(\tau) \frac{\partial \delta(t, \tau)}{\partial \tau} d\tau \right] \end{aligned} \quad (6)$$

где  $\mu$ —коэффициент, определяющий армирование,  $E(t)$ —модуль упруго-мгновенных деформаций бетона,  $m(t) = E_a : E(t)$ ,  $\delta(t, \tau)$ —полная относительная деформация бетона при простом сжатии или растяжении в момент  $t$ , вызванная единичным напряжением, действующим с момента времени, соответствующего возрасту бетона  $\tau$

$$\delta(t, \tau) = \frac{1}{E(\tau)} + C(t, \tau) \quad (7)$$

$1/E(\tau)$ —упруго-мгновенная деформация бетона,  $C(t, \tau)$ —деформация ползучести к моменту времени  $t$  (мера ползучести). Знаком \* отмечены усилия, определяемые с учетом ползучести и старения.

Уравнение (6) в операторной форме имеет вид

$$A_F N_a^*(t) + A(1 - EK) N_a^*(t) = A(1 - EK) X^*(t) \quad (8)$$

где

$$(1 - EK) N_a^*(t) = N_a^*(t) - E(t) \int_{\tau_1}^t N_a^*(\tau) \frac{\partial \delta(t, \tau)}{\partial \tau} d\tau \quad (9)$$

$$(1 - EK) X^*(t) = X^*(t) - E(t) \int_{\tau_1}^t X^*(\tau) \frac{\partial \delta(t, \tau)}{\partial \tau} d\tau$$

$$A_E = \frac{I_a}{m(t) F_b}, \quad A = \frac{I_a}{F_b} \quad (10)$$

Своеобразное начертание функции двух переменных  $\delta(t, \tau)$  особенно интенсивно стареющего бетона затрудняет решение уравнения (8) в аналитическом виде и заставляет использовать численные способы [8], [9], [12], [13], [15].

Известно, что вектор величин, получающихся после применения операторов (9) к функциям (в данном случае неизвестные усилия в арматуре в заданные моменты времени  $N_a^*(\tau_1), N_a^*(t_1) \dots N_a^*(t_n)$  или известные внешние силы  $X^*(\tau_1), X^*(t_1) \dots X^*(t_n)$  могут быть представлены в виде произведения матриц, содержащих характеристики деформативности на вектор  $N_a^*$  или  $X^*$ , то есть

$$(1 - EK) \vec{N}_a^* = \| \Delta \delta \| \vec{N}_a^*, \quad (1 - EK) \vec{X}^* = \| \Delta \delta \| \vec{X}^* \quad (11)$$

где через  $\| \Delta \delta \|$ ,  $\vec{N}_a^*$  и  $\vec{X}^*$  обозначены треугольная матрица характеристик деформативности и векторы усилий, то есть

$$\| \Delta \delta \| = \begin{vmatrix} 1 & & & \\ \Delta_{10} \Delta_{11} & & & \\ \Delta_{20} \Delta_{21} \Delta_{22} & & & \\ \vdots & \ddots & \ddots & \ddots \\ \Delta_{n0} \Delta_{n1} \Delta_{n2} \dots \Delta_{nn} & & & \end{vmatrix}, \quad \vec{N}_a^* = \begin{vmatrix} N_a^*(\tau_1) \\ N_a^*(t_1) \\ N_a^*(t_2) \\ \vdots \\ N_a^*(t_n) \end{vmatrix}, \quad \vec{X}^* = \begin{vmatrix} X^*(\tau_1) \\ X^*(t_1) \\ X^*(t_2) \\ \vdots \\ X^*(t_n) \end{vmatrix} \quad (12)$$

Элементы матриц (12) вычисляются по формулам

$$\Delta_{ii} = E(t_i) [\delta(t_i, \tau_1) - \delta(t_i, \tau_1)] \quad i = 1, 2, \dots, n$$

$$\Delta_{ik} = E(t_i) [\delta(t_i, \tau_k)_{t_{k-1}}^{t_k} - \delta(t_i, \tau_k)_{t_k}^{t_{k+1}}] \quad i = 1, 2, \dots, n, \quad k = 1, 2, \dots, n, \quad t_0 = \tau_1$$

$$\Delta_{ik} = E(t_i) \delta(t_i, \tau_k)_{t_{k-1}}^{t_k} \quad i = k$$

где через  $\delta(t_n; \tau_k)_{t_{k-1}}^{t_k}$  обозначено значение, среднее в смысле удовлетворения, например, такого равенства

$$\int_{t_{k-1}}^{t_k} \delta(t_n, z) \frac{dN_a^*(z)}{dz} dz = \delta(t_n, \tau_k)_{t_{k-1}}^{t_k} [N_a^*(t_k) - N_a^*(t_{k-1})] \quad (13)$$

При выполнении практических расчетов обычно принимается

$$\delta(t_n; \tau_k)_{t_{k-1}}^{t_k} = \delta\left(t_n, \frac{t_k - t_{k-1}}{2}\right) \quad (14)$$

На основании (11) из интегрального уравнения (6) можно получить матричное уравнение

$$\|A_E\|\vec{N}_a + A\|\Delta\delta\|\vec{N}_a = A\|\Delta\delta\|\vec{X}^* \quad (15)$$

Уравнение (15) представим в виде

$$\|A\delta_A\|\vec{N}_a = \|\Delta\delta_A\|\vec{X}^* \quad (16)$$

где

$$\|A\delta_A\| = \|A_E\| - \|\Delta\delta_A\|, \quad \|\Delta\delta_A\| = A\|\Delta\delta\|, \quad \|A_E\| = \begin{vmatrix} A_1 & & & \\ 0 & A_2 & & \\ \vdots & \ddots & \ddots & \\ 0 & 0 & \cdots & A_n \end{vmatrix} \quad (17)$$

$A_2$  определяется согласно (10).

Умножив уравнение (16) на матрицу  $\|A\delta_A\|^{-1}$ , то есть матрицу, обратную матрице  $\|A\delta_A\|$ , получим

$$\vec{N}_a = \|A\delta_A\|^{-1}\|\Delta\delta_A\|\vec{X}^* \quad (18)$$

Аналогично можно получить формулу

$$\vec{X}^* = \|\Delta\delta_A\|^{-1}\|A\delta_A\|\vec{N}_a \quad (19)$$

Вектор перемещений торцов изделий  $\vec{u}_6^*$  относительно противоположных торцов вычисляется так:

$$\vec{u}_6^* = \frac{I_0}{E_a F_a} \vec{N}_a = \frac{I_0}{E_a F_a} (\|A\delta_A\|^{-1}\|\Delta\delta_A\|\vec{X}^*) \quad (20)$$

2. После вывода формул (18), (19) и (20) можно перейти к задаче определения величины усилия  $X^*(t)$  в свободной арматуре в процессе термообработки и последующего охлаждения.

Неизвестная величина усилия  $X^*(t)$  в любой момент времени от начала совместной работы бетона и арматуры может быть найдена с помощью такого уравнения совместности деформаций

$$u_a^*(t) - u_6^*(t) + u_b^*(t) = 0 \quad (21)$$

В этом уравнении  $u_a$  и  $u_b$  — суммарные изменения длин всех участков свободной арматуры и железобетонных изделий, вызванные усилием  $X^*(t)$ ,  $u_b$  — суммарное изменение длины участков свободной арматуры  $I_a\Delta\theta_a$  и железобетонного изделия на уровне арматуры  $I_b\Delta\theta_b$  вследствие приращения температуры во времени

$$u_b = \alpha(I_b\Delta\theta_b + I_a\Delta\theta_a) \quad (22)$$

$I_a$  — длина изделия,  $I_b$  — суммарная длина свободных от бетона участков арматуры.

Решая задачу определения величин  $X^*(t)$  в наперед заданные моменты времени  $\tau_1, t_1, \dots, t_n$ , можно (21) переписать в векторной форме

$$\vec{u}_2^* - \vec{u}_3^* + \vec{u}_4^* = 0 \quad (23)$$

Учитывая (20), уравнение (23) в развернутом виде запишем следующим образом:

$$\frac{I_v}{E_a F_a} \vec{X}^* + \frac{I_a}{E_a F_a} (\|A\delta_2\|^{-1} \| \Delta \delta_A \| \vec{X}^*) + z (I_a \vec{\delta}_{cp} + I_v \vec{\delta}_a) = 0 \quad (24)$$

либо так:

$$\| \eta \| X^* + (\| A\delta_2 \|^{-1} \| \Delta \delta_A \|) X^* = -z E_a F_a (\vec{\delta}_{cp} + \eta \vec{\delta}_a) \quad (25)$$

откуда

$$\vec{X}^* = -\| \Delta \eta \|^{-1} \vec{P}_b \quad (26)$$

где  $\| \Delta \eta \|^{-1}$  — матрица, обратная матрице  $\| \Delta \eta \|$ , причем

$$\| \Delta \eta \| = \| \eta \| + \| A\delta_2 \|^{-1} \| \Delta \delta_A \|, \quad \| \eta \| = \begin{vmatrix} \eta_1 \\ 0 & \eta_1 \\ \vdots & \ddots & \ddots \\ 0 & 0 & \cdots & \eta_1 \end{vmatrix} \quad (27)$$

$$P_b = z E_a F_a (\vec{\delta}_{cp} + \eta \vec{\delta}_a) \quad (28)$$

Напряжения  $\vec{\varepsilon}_{ac}^*(t)$ ,  $\vec{\varepsilon}_{so}^*(t)$  соответственно в свободной и обетонированной арматуре и бетоне  $\vec{\varepsilon}_b^*(t)$  в соответствии с (18), (19) и (3) определяются по формулам

$$\vec{\varepsilon}_a^* = \frac{1}{F_a} \vec{X}^*, \quad \vec{\varepsilon}_{so}^* = \frac{1}{F_a} \vec{N}_a^*, \quad \vec{\varepsilon}_b^* = -\frac{M}{F_a} \left( 1 + \frac{F_b h_1}{J_b} z \right) \vec{N}_a^* \quad (29)$$

Известно, что при напряженном состоянии, характеризующемся (24), продольные перемещения стержня отсутствуют. Тогда вектор температурно-влажностных напряжений с учетом ползучести и старения на основе принципа наложения будет иметь вид [14]

$$\vec{\varepsilon}_{\text{ш}}^* = \| H \| \Delta \vec{\varepsilon}_{\text{ш}} \quad (30)$$

где  $\| H \|$  — матрица коэффициентов затухания напряжений

$$\| H \| = \begin{vmatrix} 1 & & & & \\ H_{11} & 1 & & & \\ H_{21} & H_{22} & 1 & & \\ \vdots & \vdots & \vdots & \ddots & \vdots \\ H_{n1} & H_{n2} & \cdots & 1 & \end{vmatrix}, \quad \begin{array}{l} H_{21} = H(t_2, \tau_1) \\ H_{22} = H(t_2, \tau_2), \\ \vdots \\ H_{n1} = H(t_n, \tau_1) \end{array}$$

$$\| H \| = \| \Delta \delta \|^{-1} \| B \| \quad (31)$$

$\| \Delta \delta \|^{-1}$  — матрица, обратная матрице  $\| \Delta \delta \|$ .

$$\|B\| = \begin{vmatrix} 1 & & & \\ 1 & 1 & & \\ 1 & 1 & 1 & \\ 1 & 1 & 1 & 1 \end{vmatrix} \quad (32)$$

$\Delta\varepsilon_{th}$  — приращения напряжений.

3. Естественно, что для достаточно полного представления о процессе формирования температурных напряжений матрицу  $\|\Delta\delta\|$  и вектор  $E$  необходимо построить на основе экспериментальных данных, полученных для бетона, находящегося в условиях термообработки. В качестве примера для приближенного выявления характера процесса использованы данные, приведенные в [16].

Модуль упруго-мгновенных деформации бетона аппроксимирован формулой

$$E(\tau) = 2.92(1 - 0.65e^{-2.077})10^3$$

мера ползучести, содержащаяся в (12), зависимостью [1]

$$C(t, \tau) = \left\{ (3.42 + 27.26e^{-0.052t} + 138.6e^{-0.91t}) - [(3.42 + 27.26e^{-0.052t} + 138.6e^{-0.91t}) - (1.05 + 9.86e^{-0.03t} + 165.5e^{-1.22t})] \times \right. \\ \left. \times \frac{e^{0.05t} - 0.7}{e^{0.05t} - 0.7} - (1.05 + 9.86e^{-0.03t} + 165.5e^{-1.22t}) e^{-0.05(t-\tau)} \right\} 10^{-7}$$

Изделие рассматривается с симметричным армированием и следующими характеристиками  $R(28) = 400 \text{ кгс/см}^2$ ,  $F_b = 45 \times 45 \text{ см}$ ,  $F_s = 30 \text{ см}^2$ ,  $l_u = 24 \text{ мм}$ ,  $\chi = 0.18$ ,  $F_a = 2 \cdot 10^6 \text{ кгс/см}^2$ ; продолжительность термообработки — 46 час.

В табл. 1 приведены элементы вектора  $\vec{P}_b$  и подсчитанные при помощи формул (2), (3), (4), (29) и (30) напряжения в  $\text{кгс/см}^2$  в угловых и центральной точках поперечного сечения изделия, вызванные как изменением температуры, так и деформациями ползучести и старения бетона за время его термообработки, полагая, что совместность работы бетона и арматуры обеспечивается через 5 час. после укладки смеси.

Из таблицы видно, что при  $t = 22, 25, 26, 27$  и 28 час., то есть когда элементы вектора  $P_b$  практически постоянны, дополнительные напряжения в свободной арматуре и напряжение в бетоне вследствие ползучести уменьшаются, а напряжение в обетонированной арматуре продолжает увеличиваться. К окончанию термообработки суммарные растягивающие напряжения в бетоне составляют  $36.6 \text{ кгс/см}^2$ . Эти напряжения являются причиной растрескивания поверхностей изделий, наблюдавшегося после охлаждения.

Таблица 1

$\tau_{\text{рас}}$	$\tau_{\text{ж}}^*$	$\tau_{\text{ж}}^*(t)$	$\tau_{\text{ж}}^*(t)$	$\tau_{\text{ж}}^*(t)$	$\tau_{\text{ж}}^*(0, 0, r)$	$\tau_{\text{ж}}^*(0, 0, r)$	$\tau_{\text{ж}}^*(a, b, t)$	$\tau_{\text{ж}}^*(a, b, t)$
4	0	0	0	0	0	0	0	0
5	1926	-150	-37	1,70	-0,40	-2,10	0,80	-0,90
6	4230	-347	-78	-3,9	-0,50	-4,40	0,80	-3,10
7	6954	-554	-132	-6,2	-0,20	-6,40	0,70	-6,9
8	10603	-815	-187	-9,3	-0,90	-8,4	-1,6	-10,9
9	13962	-1126	-263	-12,7	-1,70	-11,0	-2,2	-14,9
10	16920	-1419	-309	-16,4	-2,23	-11,2	-2,4	-18,8
14	29736	-2373	-564	-26,0	2,50	-23,5	-2,8	-28,8
18	34992	-2574	-698	-27,7	0,10	-27,6	-2,3	-25,4
22	36800	-2587	-755	-27,0	-3,60	30,6	6,8	-20,2
25	36840	-2524	-772	-25,8	-5,60	-31,1	8,8	-17,0
26	36870	-2482	-786	-25,0	-6,10	31,1	9,6	-15,4
27	36850	-2454	-797	-24,4	-7,20	-31,6	-12,6	-11,8
28	36810	-2413	-804	-23,9	-8,40	-38,8	-15,4	-6,5
30	35832	-2351	-703	-24,4	-13,00	-37,4	+21,5	-2,9
32	33723	-2033	-678	-20,0	-17,0	-37,0	-26,0	-6,0
34	31050	-1772	-648	-16,6	-20,0	-36,6	-29,4	-12,8
36	27936	-1409	-603	-11,9	-22,6	-34,5	+31,9	+20,0
38	24480	-1050	-568	-7,70	-24,0	-31,7	+32,9	-25,2
40	20760	-606	-507	-1,40	-25,5	-26,9	-34,0	+32,6
42	16842	-261	-443	+2,2	-26,3	-24,1	+34,0	+36,2
46	10572	+357	-346	-10,4	-21,0	-10,6	-25,7	-36,1

Одесский инженерно-строительный  
институт

Поступила 3-V-1973

Б. Б. Ширин

СОЛНЦЕВОДНОМУ РЫБОВЛЕЮ И ЕВРОПЕЙСКИМ РЫБАЛАМ ПРЕДСТАВЛЯЮЩИЕ  
МОИ РУКИ ПРИЧИНОЮ СВОИХ ПОДДЕРЖАНИЯ ЧЕРНОМОРСКОГО РЫБОВЛЕЯ

Б. Б. Ширин

Человека я люблю и уважаю, а рыбака я ненавижу, ибо он вредит природе, и я не могу смотреть на него.

Человека я люблю и уважаю, а рыбака я ненавижу, и я не могу смотреть на него.

Человека я люблю и уважаю, а рыбака я ненавижу, и я не могу смотреть на него.

ON APPLICATION OF THE CREEP THEORY TO SOLVING  
THE PROBLEM OF REINFORCED CONCRETE MEMBER STRESSED  
CONDITION IN THE STEAM CURING PROCESS

I. I. TEMNOV

С у м м а р у

A method of solving a stressed condition of the system including a reinforced concrete member, free reinforcement and supports is suggested.

The method allows to trace the formation of stresses in the members during steam curing and after compression of concrete.

The method takes into account the variation with time and the cross-section of elastic, thermal, creeping and ageing deformations.

The thermo-moisture stresses developing in concrete and crack resistance are analysed in a specific example.

Л И Т Е Р А Т У Р А

- Александровский С. В. Расчет бетонных и железобетонных конструкций на изменение температуры и влажности с учетом ползучести. Стройиздат, 1971.
- Арутюнян Н. А. Некоторые вопросы теории ползучести. Гостехиздат, 1952.
- Безин А. В. Температурные напряжения в бетонной прямугольного поперечного сечения. Изв. ВИНИГ, т. 51. Госэнергиздат, 1954.
- Бердичевский Г. И., Маркаров Н. А. Технологические факторы трещиностойкости и прочности предварительно напряженных железобетонных конструкций. Стройиздат, 1964.
- Бердичевский Г. И., Маркаров Н. А., Шабанова Г. П. О возможности обжатия горячего бетона предварительно напряженных конструкций после пропаривания. Бетон и железобетон, № 7, 1971.
- Васильев П. М., Котиков Ю. И. Температурные напряжения в бетонных массивах. Л., 1969.
- Луцикай Е. Ю., Мириньштейн В. Г. Определение потерь предварительного напряжения арматуры от температурного перенапряжения с учетом роста прочности при термообработке. Материалы к VII-й Всесоюзной конференции «Перспективы развития бетона и железобетона». Вильнюс, 1972.
- Ильин К. И., Пефаковский И. И. Матричные зависимости между напряжениями и деформациями в задачах линейной теории ползучести. Прикл. механика, т. V, вып. II, 1969.
- Маслов Г. И. ТермоНапряженное состояние в бетонных массивах с учетом ползучести. Изв. ВИНИГ, т. XXVII, 1941.
- Михайлов В. В. Предварительно напряженные железобетонные конструкции. М., 1963.
- Прокопович И. Е. Влияние длительных процессов на напряженное и деформированное состояние сооружений. Госстройиздат, 1963.
- Прокопович И. Е., Рекина В. В. О напряженно-деформированном состоянии тела, обладающего ползучестью и усиленного связями. Изв. АН Арм. ССР. Механика, т. 22, № 1, 1969.
- Темнов И. И. Нагрузки железобетонных балок с обычной арматурой при длительной нагрузке. Изв. вузов. «Строительство и архитектура», № 3, 1962.

14. Тимнов И. И. О вычислении коэффициентов затухания температурно-плажностных напряжений в бетонных сооружениях. Гидротехническое строительство, № 10, 1969.
15. Швецов А. В. Приближенный способ определения собственных напряжений в бетоне с учетом неравенства его деформативных свойств. Гидротехническое строительство, № 8, 1952.
16. Янин А. В. Погружность бетона в раннем возрасте. Тр. НИИЖБ, вып. 4. Госстройиздат, 1959.